

井中三分量磁异常理论图册

陕西省地质局第二物探队编著

地 质 出 版 社

井中三分量磁异常理论图册

陕西省地质局第二物探队编著



地 质 出 版 社

井中三分量磁异常理论图册

井中三分量磁异常理论图册

陕西省地质局第二物探队编著

*

地质局书刊编辑室编辑

地质出版社出版

北京印刷八厂印刷

新华书店北京发行所发行·各地新华书店经售

*

1974年1月北京第一版·1974年1月北京第一次印刷

印数1—3300册·定价1.80元

统一书号：15038·新55

图册说明

在图册内绘制了沿走向无限延伸的板状体、椭圆柱体、水平圆柱体三种二度体，及三度板状体、旋转椭球体、三轴椭球体和球体四种三度体，在不同产状，不同磁化条件及不同剖面位置时引起的磁异常垂直分量 ΔZ ，磁异常水平分量 ΔH （或 $\Delta \vec{H}$ ），磁异常总矢量 $\Delta \vec{T}$ （或其在垂直于磁性体走向的剖面上的投影 $\Delta \vec{T}_\perp$ ）的理论曲线或矢量图。 ΔZ 、 ΔH （或 $\Delta \vec{H}$ ）、 $\Delta \vec{T}$ （或 $\Delta \vec{T}_\perp$ ）三者并列地绘在一张图幅内。本图册共 130 幅图。可供井中磁测资料解释时（参阅“井中三分量磁测”一书）使用。现将有关问题说明如下：

一、计算方式

(一) 走向无限延伸的板状体及椭圆柱体的磁场，采用二度体数点量板计算获得。

(二) 走向无限延伸水平圆柱体的磁场系按下式计算得出：

$$\left\{ \begin{array}{l} \Delta Z = 2M \left[\frac{(z^2 - x^2) \sin I + 2xz \cos I}{(x^2 + z^2)^2} \right] \\ \Delta H = 2M \left[\frac{2xz \sin I + (x^2 - z^2) \cos I}{(x^2 + z^2)^2} \end{array} \right\} \quad (1)$$

式中： $M = \frac{\pi D^2}{4} \cdot J$

M —水平圆柱体单位长度的磁矩 D —水平圆柱体直径

J —磁化强度

I —磁化倾角

(三) 三度板状体：

这些图幅是根据“地球物理与地球化学探矿研究报告文集”第二集中长方形体磁场的理论公式，将其坐标原点移到板状体中心，并增加 z 坐标后利用手算和图解法获得。其理论公式如下：

$$\begin{aligned} \Delta X &= -J_x \left| \begin{array}{c} \text{tg}^{-1} \frac{(\beta-y)(\gamma-z)}{(\alpha-x)\sqrt{(x-\alpha)^2 + (y-\beta)^2 + (z-\gamma)^2}} \\ | b \quad | L \quad | l \\ | -b \quad | -L \quad | -l \end{array} \right| \\ &-J_y \left| \begin{array}{c} \ln \left[\sqrt{(x-\alpha)^2 + (y-\beta)^2 + (z-\gamma)^2} - (\gamma-z) \right] \\ | b \quad | L \quad | l \\ | -b \quad | -L \quad | -l \end{array} \right| \\ &-J_z \left| \begin{array}{c} \ln \left[\sqrt{(x-\alpha)^2 + (y-\beta)^2 + (z-\gamma)^2} - (\beta-y) \right] \\ | b \quad | L \quad | l \\ | -b \quad | -L \quad | -l \end{array} \right| \end{aligned} \quad (2)$$

$$\Delta Y = -J_x \left| \begin{array}{c} \ln \left[\sqrt{(x-\alpha)^2 + (y-\beta)^2 + (z-\gamma)^2} - (\gamma-z) \right] \\ | b \quad | L \quad | l \\ | -b \quad | -L \quad | -l \end{array} \right|$$

$$\begin{aligned} -J_y &\left| \begin{array}{c} \text{tg}^{-1} \frac{(\alpha-x)(\gamma-z)}{(\beta-y)\sqrt{(x-\alpha)^2 + (y-\beta)^2 + (z-\gamma)^2}} \\ | b \quad | L \quad | l \\ | -b \quad | -L \quad | -l \end{array} \right| \\ -J_z &\left| \begin{array}{c} \ln \left[\sqrt{(x-\alpha)^2 + (y-\beta)^2 + (z-\gamma)^2} - (\alpha-x) \right] \\ | b \quad | L \quad | l \\ | -b \quad | -L \quad | -l \end{array} \right| \end{aligned} \quad (3)$$

$$\Delta Z = -J_x \left| \begin{array}{c} \ln \left[\sqrt{(x-\alpha)^2 + (y-\beta)^2 + (z-\gamma)^2} - (\beta-y) \right] \\ | b \quad | L \quad | l \\ | -b \quad | -L \quad | -l \end{array} \right|$$

$$-J_y \left| \begin{array}{c} \ln \left[\sqrt{(x-\alpha)^2 + (y-\beta)^2 + (z-\gamma)^2} - (\alpha-x) \right] \\ | b \quad | L \quad | l \\ | -b \quad | -L \quad | -l \end{array} \right|$$

$$-J_z \left| \begin{array}{c} \text{tg}^{-1} \frac{(\beta-y)(\alpha-x)}{(\gamma-z)\sqrt{(x-\alpha)^2 + (y-\beta)^2 + (z-\gamma)^2}} \\ | b \quad | L \quad | l \\ | -b \quad | -L \quad | -l \end{array} \right| \quad (4)$$

式中符号意义见图 1。板状体是直立的， x 轴垂直于板面与 $2b$ 边平行， y 轴沿板的走向与 $2L$ 边平行， z 轴向下与 $2l$ 边平行。 $2b$ 、 $2l$ 、 $2L$ 分别为板状体的厚度、沿倾向和走向的长度。

(α, β, γ) 为板状体内某体积元 dv 的坐标，其积分的上下限分别为 $(b, -b), (L, -L), (l, -l)$ 。 (x, y, z) 为板状体外任意点 N 的空间坐标位置。 J 为总磁化强度， J_x, J_y, J_z 为 J 在 x, y, z 轴上的投影。

$\Delta X, \Delta Y, \Delta Z$ 为板状体磁场沿 x, y, z 坐标轴的三个分量。板状体直立时， ΔX 为垂直于磁性体走向的剖面（以下简称横剖面）内磁异常水平分量 ΔH_\perp ， ΔY 为平行磁性体走向剖面（以下简称纵剖面）内磁异常水平分量 ΔH_\parallel ， ΔZ 为磁异常垂直分量。

板状体倾斜时（设倾角为 α ），如磁化倾角 I 不变，则相当于将图 1 所示系统，绕坐标轴 y 反时针旋转了 $(90^\circ - \alpha)$ 角度（见图 2）。此时，原坐标轴 x, y, z 变为 x', y', z' 。

因此，前述板状体沿坐标轴的三个分量也相应变为 $\Delta X', \Delta Y', \Delta Z'$ ，其中沿走向轴分量 $\Delta Y'$ 不变，仍为水平分量 ΔH_\parallel ，而 x', z' 两个坐标轴上的分量 $\Delta X', \Delta Z'$ 既不水平又不垂直。所以，要得到真正的垂直分量 (ΔZ) 和水平分量 (ΔH_\perp 或 ΔH_\parallel) 可利用下式求得：

$$\left\{ \begin{array}{l} \Delta H_\perp = \Delta X = \Delta Z' \cos \alpha + \Delta X' \sin \alpha \\ \Delta H_\parallel = \Delta Y = \Delta Y' \\ \Delta Z = \Delta Z' \sin \alpha - \Delta X' \cos \alpha \end{array} \right\} \quad (5)$$

总磁化强度 J 和沿 x', y', z' 坐标轴的三个分量（即垂直于板状体三组板面的三个分量） $J_{x'}, J_{y'}, J_{z'}$ 有如下关系式：

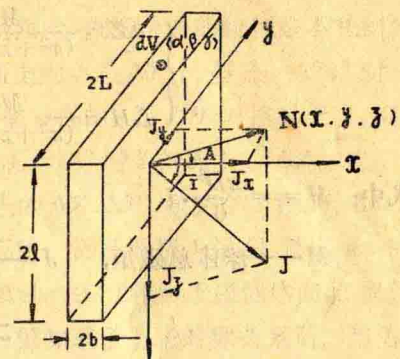


图 1

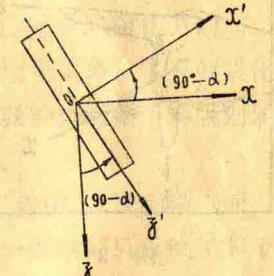


图 2

$$\left\{ \begin{array}{l} J_{x'} = J(\cos I \cos A \sin \alpha - \sin I \cos \alpha) \\ J_{y'} = J \cos I \sin A \\ J_{z'} = J(\cos I \cos A \cos \alpha + \sin I \sin \alpha) \end{array} \right\} \quad (6)$$

(四) 旋转椭球体和三轴椭球体量板利用通电螺线管磁模拟实测结果绘制, 在异常部分, 其误差 η (指理论值 N_1 与测量值 N_2 之间的相对误差, $\eta = \frac{N_1 - N_2}{N_1} \times 100\%$) 一般小于 10%, 能够满足当前井中磁测解释的需要。

(五) 球体图幅系根据电子计算机计算数据绘制, 计算了磁化方向沿观测面时的磁场, 其公式是:

$$\left\{ \begin{array}{l} \Delta Z = \frac{M}{(x^2 + z^2)^{5/2}} [(2z^2 - x^2) \sin I + 3xz \cos I] \\ \Delta H = \frac{M}{(x^2 + z^2)^{5/2}} [(2x^2 - z^2) \cos I + 3xz \sin I] \end{array} \right\} \quad (7)$$

式中: $M = \frac{\pi D^3}{6} \cdot J$

M —球体总磁矩, J —总磁化强度, D —球体直径, I —磁化倾角。

二、坐标系及符号单位

(一) 图幅中剖面位置和点位, 由 x 、 y 、 z 直角坐标系确定, 三个坐标轴的关系符合左手法则。如图 3 所示, 大拇指所指为水平坐标 x 轴正方向, 它垂直于磁性体走向, x 正方向指北(或指北东、北西), 食指所指为水平坐标 y 轴正方向, 它平行于磁性体走向, 中指垂直向下, 为 z 坐标轴正方向。

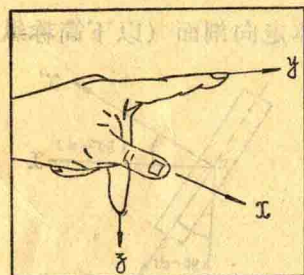


图 3

(二) 图中并列 ΔZ 、 ΔH (或 $\overrightarrow{\Delta H}$) 及 $\overrightarrow{\Delta T}$ (或 $\overrightarrow{\Delta T}_\perp$) 三种磁异常。

ΔZ 是磁异常的垂直分量, 以曲线形式表示, 列于图的左侧。 ΔZ 曲线以钻孔线为磁场强度的零线, 左负右正, 负值表示 ΔZ 实际方向朝上, 正值表示 ΔZ 方向朝下。与地面磁法中磁异常垂直分量 Za 概念类似。需要指出的是用磁模拟测定的三轴椭球体磁场的个别图幅中, ΔZ 曲线虚线处系根据一般规律人为构划的, 并非实测数据, 使用时仅供参考。

磁异常水平分量用矢量或曲线方式表示, 以 $\overrightarrow{\Delta H}$ 为矢量符号, ΔH 为曲线符号。磁异常水平分量图位于图幅的中间。图册中二度体磁异常水平分量, 以及 x 坐标与磁化方向间的夹角 $A=0^\circ$ (或垂直磁化时)时的三度体中心横剖面内的磁异常水平分量, 均以曲线表示。 ΔH 曲线亦以钻孔线为零线, 左负右正, 其负值表示 ΔH 指向南(或南东、南西), 正值表示 ΔH 指北(或北东、北西), 与地面磁法中磁异常水平分量 Ha 的概念类似。

以矢量图示的 $\overrightarrow{\Delta H}$ 图幅, 具有平面剖面图的概念。即整个图的点位是按剖面形式绘制的, 其点位由 xz 坐标决定, 但在每一个点位上, $\overrightarrow{\Delta H}$ 矢量均为平面图, 即反映了水平分量的实际概念。 $\overrightarrow{\Delta H}$ 的矢量根部为零点(即矢量图的点位处), 矢量长度表示 ΔH 的强度, 箭头表示 $\overrightarrow{\Delta H}$ 所指示的平面方向。 $\overrightarrow{\Delta H}$ 矢量沿横剖面的分量为 ΔH_\perp , 其正方向与 x 坐标轴正方向一致, $\overrightarrow{\Delta H}$ 矢量沿纵剖面的分量为 ΔH_\parallel , 其正方向与 y 坐标轴的正方向一致(见图 4 (一))。在图的剖面内也是以上述原则表示 $\overrightarrow{\Delta H}$ 的, 仍以图面上方作为 ΔH_\perp 的正方向, 左端为 ΔH_\parallel 的正方向(见图 4 (二))。 $\overrightarrow{\Delta H}$ 的方位以 φ 角表示, 它是以 ΔH_\perp 的正方向(即图 4 (一)平面图上 x 坐标的正方向)作为 $\overrightarrow{\Delta H}$ 指向方位的起算线。由于 $\overrightarrow{\Delta H}$ 为平面图, 指示方位可从 0° 变到 360° 。当

x 坐标与磁化方向一致时(即 $A=0^\circ$)或垂直磁化时, 图幅上方所指即为磁北。角 φ 即为 $\overrightarrow{\Delta H}$ 矢量的磁方位角。而对于 $A=45^\circ$ 和 90° 的图幅(图号 68—95), 由于其横剖面方位为 45° 和 90° , 故图幅上方所指方位亦分别为 45° 和 90° 。所以, 请读者注意, 以免误用。

$\overrightarrow{\Delta T}$ 是磁异常总矢量。总矢量在横剖面上投影以 $\overrightarrow{\Delta T}_\perp$ 表示。 $\overrightarrow{\Delta T}$ 或 $\overrightarrow{\Delta T}_\perp$ 用矢量形式表示, 是真正的剖面图, 位于图幅的右侧。它形象地描绘出磁性体所产生的磁力线在横剖面内的分布情况, 因此图象很直观, 易于理解和使用。 $\overrightarrow{\Delta T}$ 是由 ΔZ 和 ΔH 合成的($\overrightarrow{\Delta T}_\perp$ 则由 ΔZ 和 ΔH_\perp 所合成)。在 $\overrightarrow{\Delta T}$ (或 $\overrightarrow{\Delta T}_\perp$)图幅上, 点位坐标 x 、 z 所指方向, 为 ΔH (或 ΔH_\perp)和 ΔZ 的正方向, 即 ΔH (或 ΔH_\perp)在该图上指右为正, 指左为负, ΔZ 朝下为正, 朝上为负。

(三) 在目录中列出的磁性体倾角 α 有 5 种, 即 $\alpha=30^\circ, 60^\circ, 90^\circ, 120^\circ$ 和 150° 。它们在垂直于磁性体走向的截面形状栏内, 表示了 $2l$ 边或 $2a$ 轴和 x 坐标轴正方向之间的夹角。

目录中磁化倾角 I 用锐角表示, 有 $30^\circ, 60^\circ, 90^\circ$ 三种。除 $A=45^\circ$ 和 90° 的图幅外, 总磁化方向均位于横剖面内, 因此在这些图幅和目录内相应图示中, 有效磁化强度 J_i 即等于总磁化强度 J , 磁化倾角 I 即为有效磁化倾角 i 。对于 $A=45^\circ$ 和 90° 的图幅, 因 $J \neq J_i$, 则已根据公式 $\operatorname{ctg} i = \operatorname{ctg} I \cos A$ 求得 i 值, 并在目录截面形状栏和图幅中都用有效磁化倾角 i 和有效磁化强度 J_i 表出, 但目录倾角栏仍为 I 角, 故请读者使用时注意两者的区别。

在截面形状图示中, 当剖面切过磁性体时, 磁性体截面以实线表示, 当剖面在磁性体的侧旁, 未切到磁性体时, 磁性体在截面内的投影形状, 以虚线表示, 其剖面的具体位置在目录的相应栏内已经表示出来, 如图号 38 所示。

目录中 $2b$ 、 $2l$ 、 $2L$ 分别为板状体的厚度、倾向长度和走向长度。 $2a$ 、 $2b$ 、 $2c$ 分别为椭圆柱体, 旋转和三轴椭球体的倾向轴、走向轴和短轴。 D 为水平圆柱体或球体的直径。

(四) 对于三度磁性体, 在目录中图示了磁异常剖面与磁性体在平面上相对位置的关系。由于它是平面图, 所示 J 表示了总磁化强度的方向, 磁化方位角 A 为由磁化方向起算,

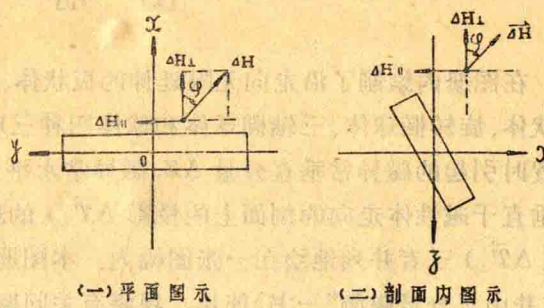


图 4

顺时针转至 x 轴正方向所夹的角度。如图号 68 和 82 的目录栏内所示。

对于总磁化强度位于横剖面内的三度板状体、旋转和三轴椭球体，除中心剖面外，均图示了两个与中心剖面相对应的剖面位置，这时在 ΔH 图幅中，每一点的 ΔH 矢量有实线和虚线两种。如图号 37 的图幅，剖面位置 $y = \pm 20b$ ，实线表示 $y = 20b$ 剖面内的 ΔH 矢量；虚线则表示 $y = -20b$ 剖面内的 ΔH 矢量，其余类推（见注）。至于 $y = 20b$ 和 $y = -20b$ 两个剖面内的 ΔZ 曲线和 ΔT_{\perp} 矢量，则是完全相同的。关于其磁场分布的情况，在应用方法中，我们还要谈到。

（五）所有图幅均以总磁化强度 J 为磁场强度的相对单位，若给出 J ，便可求得任一点的磁场强度 γ 值。如图号 1 图幅，强度比例尺为 $1^J/cm$ ，若 $J = 0.1CGSM$ ，则该图幅 ΔZ 、 ΔH 、 ΔT 的磁场强度比例尺为： $1cm = 1 \times 0.1 \times 10^5 \gamma = 10000 \gamma$

三、应用方法

“大家明白，不论做什么事，不懂得那件事的情形，它的性质，它和它以外的事情的关联，就不知道那件事的规律，也不知道如何去做，就不能做好那件事。”要正确的认识和应用本图册，就必须了解磁性体磁场的分布的特征，及其在不同空间位置时的对应关系。这样，才能更好地掌握磁场的变化规律，为此，我们先介绍一下图册中某些规律性的东西。

（一）在三度体的图幅中，磁化强度 J 分成两类。一类是 J 位于横剖面内，占三度体图幅的大多数；另一类是 J 与横剖面有交角（如 $A = 45^\circ, 90^\circ$ 的三度板状体）的图幅，这是少数。

对于 J 位于横剖面内的图幅，我们以三度板状体为例，说明其磁场分布特征。位于三度板状体非中心剖面内的磁场，其 ΔZ 和 ΔT_{\perp} （亦指 ΔH_{\perp} ，下同）对中心剖面 I 而言呈面对称的特点，即在剖面 I 两侧的对应剖面上（例如图 5 中的 II-II'、III-III'、IV-IV' 剖面等），其分布是完全相同的。同时它又具有点对称的特点，即 ΔZ 和 ΔT_{\perp} 在同一剖面内（如 III 或 III' 剖面）在对称点上模数相同，仅方向相反而已。

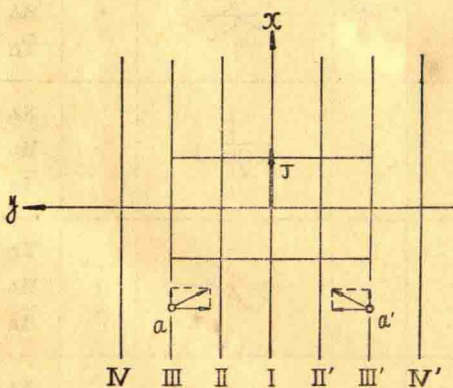


图 5

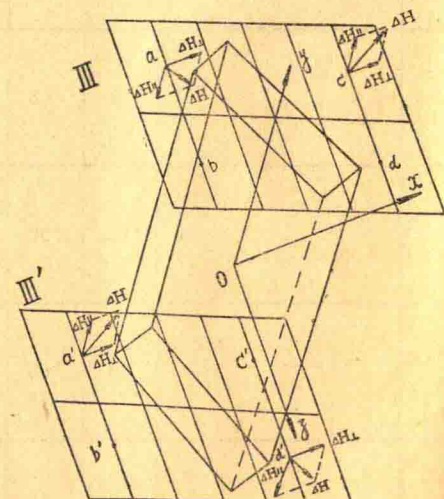


图 6

面），在对称点上模数相同，仅方向相反而已。掌握了这个规律后，我们只需研究以中心横剖面 I 为界的某一侧半空间甚至于 $\frac{1}{4}$ 空间的磁场就够了。对于 J 与横剖面有交角的三度体，即 $A = 45^\circ, 90^\circ$ 的三度板状体，在同一剖面上磁场没有对称性。在两对应的剖面上，磁场对称于磁性体中心，即在图 6 上 $a \sim d'$, $a' \sim d$, $b \sim c'$, $b' \sim c$ 等对应点上， ΔZ 、 ΔH 、 ΔT_{\perp} 是完全相同的。以点来讲磁场虽有这样的对称关系，但从整个剖面看，磁场分布的特征是不相同的，因此必须分别研究。但是如图 7 所示， $A_1 = 90^\circ$ 时 II 剖面上的 ΔZ 、 ΔT_{\perp} ，与 $A_2 = 270^\circ$ 时 -II 剖面上 ΔZ 、 ΔT_{\perp} 是完全一样的，而 ΔH 则相对于 I 剖面呈镜像反映；同样， $A_3 = 45^\circ$ 时 II 剖面上的 ΔZ 、 ΔT_{\perp} ，与 $A_4 = 315^\circ$ 时 -II 剖面上的 ΔZ 、 ΔT_{\perp} 也完全一样，而 ΔH 也相对于 I 剖面呈镜像反映。因此图册上虽只划出 $A = 90^\circ$ （相当于磁性体东倾）和 $A = 45^\circ$ （相当于磁性体向北东倾）两种情况的磁场分布，但知道了上述对称关系后，当需要 $A = 270^\circ$ （相当于磁性体西倾）和 $A = 315^\circ$ （相当于磁性体西北倾）条件下磁场分布图幅时，则可从前两者的图幅中，按上述规律得出。

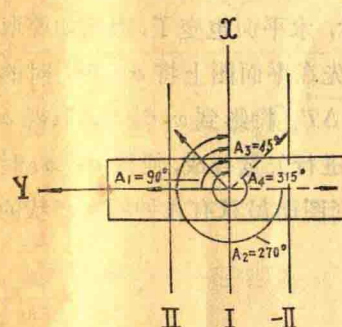


图 7

（二）在二度体的图幅中磁化强度 J 均表示在横剖面内。若工区实际磁化方向与二度矿体横剖面方向不一致时，则图幅中 J 表示了有效磁化强度，磁化倾角 I 表示了有效磁化倾角 i 。因为在剖面内对称于磁性体中心的点，磁场完全相同，所以我们只需要了解规则磁性体半个截面的磁场分布就可以了。

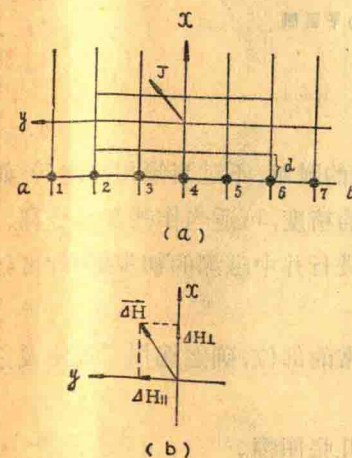


图 8

其方法是：在同一形状、产状和磁化条件的各个横剖面中，选出与磁性体沿 x 轴方向距离 (d) 相同的各个钻孔（图 8 (a) 中 1—7 孔），联成与磁性体走向平行的纵剖面 ab ，对

每一钻孔的 $\vec{\Delta H}$ 用图解法分出 ΔH_{\parallel} 部分(图 8(b)), 然后用 ΔH_{\parallel} 与 ΔZ 合成 $\vec{\Delta T}_{\perp}$ 即可。

(四) 图幅中磁场都是按直孔形式点图, 但考虑到井中磁测往往遇到斜孔的情况, 在剖面中孔距是选得较密的, 以便斜孔解释也能应用。在斜孔时, 如欲将实测磁异常与本图册对比, 则应按斜孔点位在图幅上取值。当然, 这样点就要稀一些, 或需用内插法取数, 精度就要降低。

(五) 图册上只作出了几种特定产状 ($\alpha=30^{\circ}, 60^{\circ}, 90^{\circ}, 120^{\circ}, 150^{\circ}$) 的磁场图, 但稍加转换后可从这些图幅中得出其他任何产状时(但 J 与磁性体倾向的夹角 θ 保持不变)的磁场三个分量值。对于 $\vec{\Delta T}$ (或 $\vec{\Delta T}_{\perp}$)来说, 由于它是横剖面内的总矢量, 当磁性体倾角变化时, 此面不变, 因此 $\vec{\Delta T}$ (或 $\vec{\Delta T}_{\perp}$)图适用于任何倾角。 ΔZ 是方向矢量, 只适用于特定的产状, 如欲得到其他倾角时的 ΔZ 值, 则可从 $\vec{\Delta T}(\vec{\Delta T}_{\perp})$ 图上按一定方向投影取得。如图 9(a)所示, 将 $\vec{\Delta T}(\vec{\Delta T}_{\perp})$ 投影到垂直轴 z 上, 得到 $\alpha=60^{\circ}$ 时的 ΔZ , 如投影到与板状体相交 ($90^{\circ}-\alpha_1$) 角的 z_1 轴上(此时水平轴为 x_1), 便可得到 $\alpha=\alpha_1$ 时的垂直分量 ΔZ_1 。对于用 $\vec{\Delta H}$ 表示的三度体图幅, $\vec{\Delta H}$ 是水平面上的总矢量, 当磁性体倾角改变时, 水平面也变了, 因此如要取得其他 α 值时的 $\vec{\Delta H}$, 也必须重新分解和合成。其方法如下: 先在平面图上将 $\alpha=60^{\circ}$ 时的 $\vec{\Delta H}$ 分解为 ΔH_{\parallel} 和 ΔH_{\perp} 两部分(图 9(b)), 再在剖面图上, 将 $\vec{\Delta T}_{\perp}$ 投影到 x_1 轴上, 取得 $\alpha=\alpha_1$ 时的 $\Delta H_{\perp 1}$ (图 9(a)), 然后取 $\Delta H_{\perp 1}$ 代替 ΔH_{\perp} , 与 ΔH_{\parallel} 进行矢量合成, 便得 $\alpha=\alpha_1$ 时的总水平分量 $\vec{\Delta H}_1=\vec{\Delta H}_{\perp 1}+\vec{\Delta H}_{\parallel}$ (图 9(b))。由此可见, 这套图册虽只有几种特定产状的

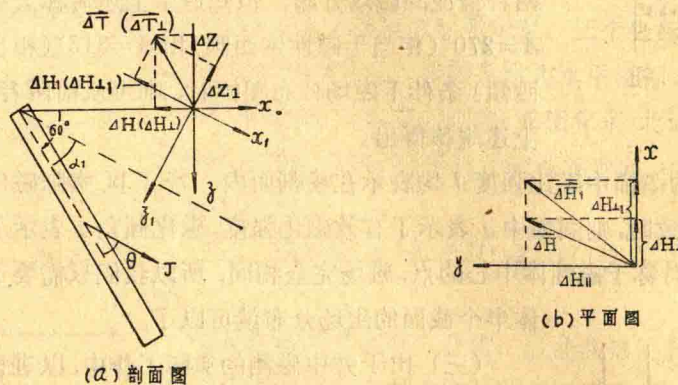


图 9

磁场, 但通过转换也能求出其他产状的磁场, 并不受这些产状的限制, 不过当倾角改变后, 如仍按直孔取值, 则点距变大, 异常不详细, 若使用时需要足够的精度, 可适当作些加点计算。

在掌握了上述磁场分布特点的基础上, 如欲使用本图册进行井中磁测的初步解释, 可结合工区条件合理选用图幅, 其大致步骤如下:

- 首先根据钻孔与矿体相对位置或钻孔处于地面磁异常的部位, 确定选用二度体或三度体的图幅。
- 根据磁铁矿体的大致形态、产状, 选用与之相对应的几张图幅。
- 根据当地地磁场资料, 并考虑到磁铁矿体的消磁影响, 大致确定磁化倾角。(由于剩

磁方向目前不易掌握, 故其方向影响难以考虑。)从而在上述图幅中选取磁化倾角与之接近的那张图。

4. 若是选用三度体的图幅, 则还需根据磁化方向与横剖面的夹角 A , 钻孔所处剖面与磁性体的相对位置, 选用与之相应的图幅。

5. 将所选图幅各钻孔线上磁场反应的特点, 与实测资料进行对比, 从而可以判断所欲解释磁性体的大致形状、产状及其与钻孔的相对位置, 为指导钻进及进一步解释提供依据。

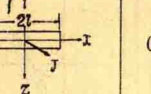
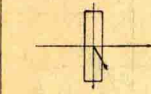
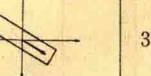
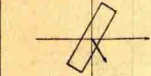
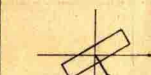
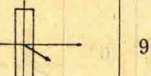
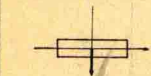
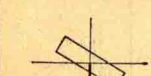
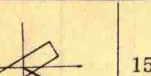
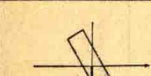
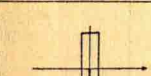
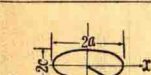
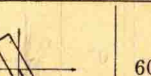
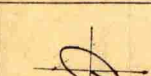
6. 根据钻孔磁铁矿芯的参数测定结果, 尽可能地作消磁改正, 确定矿体的磁化强度值, 将其代入相应图幅的强度比例尺中即可算出各点的磁场强度伽马值。

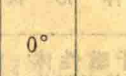
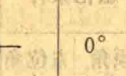
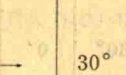
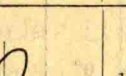
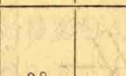
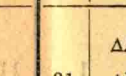
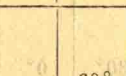
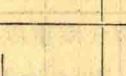
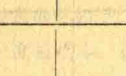
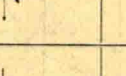
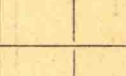
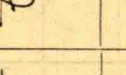
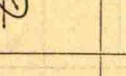
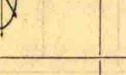
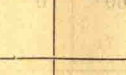
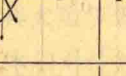
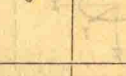
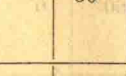
注: 磁异常水平分量 $\vec{\Delta H}$ 圆图方式举例如下:

(1) 如目录中图号 41 为一三度板状体。在磁异常剖面与磁性体相对位置栏内, 表出了剖面恰切于磁性体的两侧端(水平投影, $y=\pm 20b$, $y=+20b$ 表明剖面位于磁性体的西侧端, $y=-20b$ 则位于磁性体的东侧端)。设磁化以感磁为主, 则 $A=0^{\circ}$ 表明磁性体为东西走向, $I=i=30^{\circ}$, $\alpha=60^{\circ}$ 表明磁性体向北倾斜, 倾角 60° 。以 x, z 轴坐标原点起向 x 正端数的第二钻孔线上(该钻孔在平面图上位于磁性体的西北侧或东北侧), $\vec{\Delta H}$ 实线所示(表示 $y=20b$ 剖面内 $\vec{\Delta H}$ 矢量, 此时钻孔线在平面图上位于磁性体的西北侧)自上至下, 其指向由南东转至南西、西、北西, 最后又转至西、南西方向。 $\vec{\Delta H}$ 虚线所示(表示 $y=-20b$ 剖面内 $\vec{\Delta H}$ 矢量, 此时钻孔线在平面图上位于磁性体的东北侧)自上至下, 其指向由南西转至南东、东、北东, 最后又转至东、南东方向。

(2) 如目录中图号 76 仍为三度板状体。设磁化仍以感磁为主, 则 $A=45^{\circ}$ 表明磁性体北西~南东走向, 有效磁化倾角 $i=\operatorname{ctg}^{-1}(\operatorname{ctg} I \cos A)=67^{\circ}47'(I=60^{\circ})$, $\alpha=60^{\circ}$ 表明磁性体向北东倾斜, 倾角 60° , 在磁异常剖面与磁性体相对位置栏内, 表示出剖面位于磁性体的北西向内侧($y=10b$)。在图中仍在坐标原点向 x 正端数的第二钻孔线上, $\vec{\Delta H}$ 由上部向南指向转至下部向北最后向北指向(注意此图上方所指矢量方位为 45° , 而不是指北)。

四、井中三分量磁异常图目录

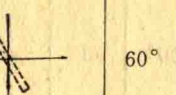
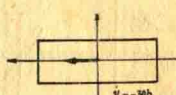
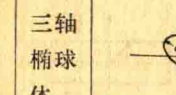
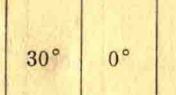
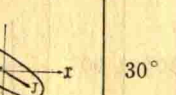
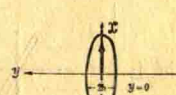
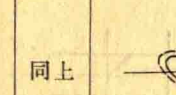
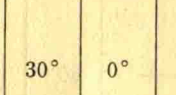
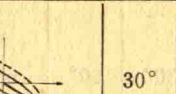
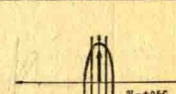
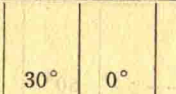
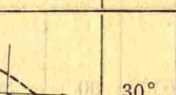
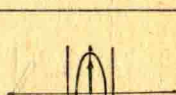
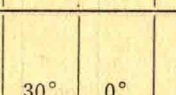
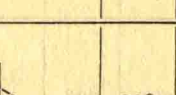
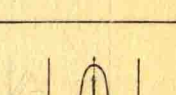
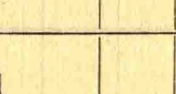
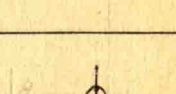
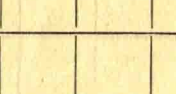
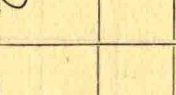
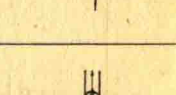
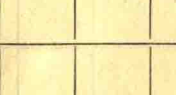
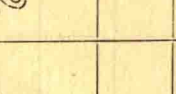
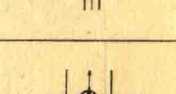
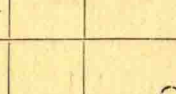
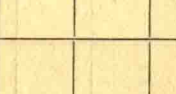
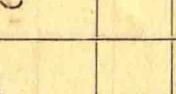
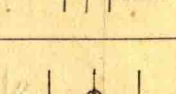
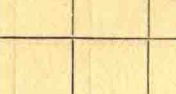
| 图号 | 磁异常类别 | 磁性体形状及产状 | | | | 磁化条件 | | 磁异常剖面与磁性体相对位置 | 强度比例尺 J/cm | 图号 | 磁异常类别 | 磁性体形状及产状 | | | | 磁化条件 | | 磁异常剖面与磁性体相对位置 | 强度比例尺 J/cm |
|----|--|----------|---|-------------|---------------|--------|---------|---------------|-----------------|----|--|----------|---|-------------|-----------------|--------|---------|---------------|-----------------|
| | | 名称 | 垂直于磁性体走向的截面形状 | 倾角 α | 尺寸比例 | 倾角 I | 方位角 A | | | | | 名称 | 垂直于磁性体走向的截面形状 | 倾角 α | 尺寸比例 | 倾角 I | 方位角 A | | |
| 1 | ΔZ ΔH ΔT | 走向无限板状体 |  | 0° | $2b:2l = 1:4$ | 30° | 0° | | 1 | 10 | ΔZ ΔH ΔT | 走向无限板状体 |  | 90° | $2b:2l = 1:4$ | 60° | 0° | | 1 |
| 2 | ΔZ ΔH ΔT | 同上 |  | 30° | 同上 | 30° | 0° | | 1 | 11 | ΔZ ΔH ΔT | 同上 |  | 120° | 同上 | 60° | 0° | | 1 |
| 3 | ΔZ ΔH ΔT | " |  | 60° | " | 30° | 0° | | 1 | 12 | ΔZ ΔH ΔT | " |  | 150° | " | 60° | 0° | | 1 |
| 4 | ΔZ ΔH ΔT | " |  | 90° | " | 30° | 0° | | 1 | 13 | ΔZ ΔH ΔT | " |  | 0° | " | 90° | | | 1 |
| 5 | ΔZ ΔH ΔT | " |  | 120° | " | 30° | 0° | | 1 | 14 | ΔZ ΔH ΔT | " |  | 30° | " | 90° | | | 1 |
| 6 | ΔZ ΔH ΔT | " |  | 150° | " | 30° | 0° | | 1 | 15 | ΔZ ΔH ΔT | " |  | 60° | " | 90° | | | 1 |
| 7 | ΔZ ΔH ΔT | " |  | 0° | " | 60° | 0° | | 1 | 16 | ΔZ ΔH ΔT | " |  | 90° | " | 90° | | | 1 |
| 8 | ΔZ ΔH ΔT | " |  | 30° | " | 60° | 0° | | 1 | 17 | ΔZ ΔH ΔT | 走向无限椭圆柱体 |  | 0° | $2a:2c = 2.5:1$ | 30° | 0° | | 1 |
| 9 | ΔZ ΔH ΔT | " |  | 60° | " | 60° | 0° | | 1 | 18 | ΔZ ΔH ΔT | 同上 |  | 30° | 同上 | 30° | 0° | | 1 |

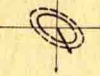
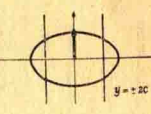
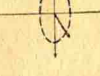
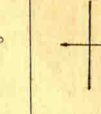
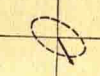
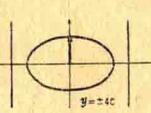
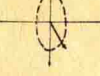
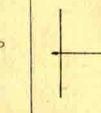
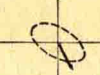
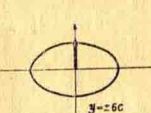
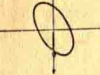
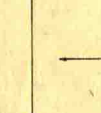
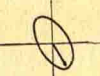
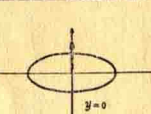
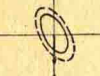
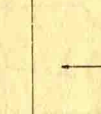
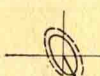
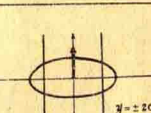
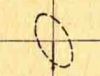
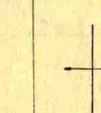
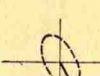
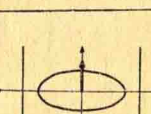
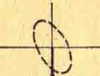
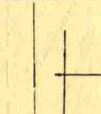
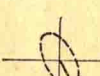
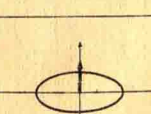
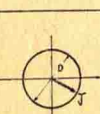
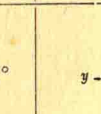
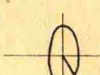
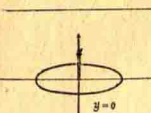
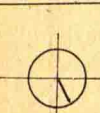
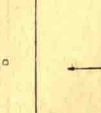
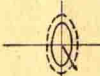
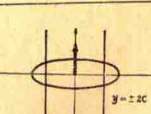
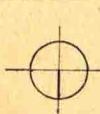
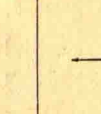
| 图号 | 磁异常类别 | 磁性体形状及产状 | | | | 磁化条件 | | 磁异常剖面与磁性体相对位置 | 强度比例尺 J/cm | 图号 | 磁异常类别 | 磁性体形状及产状 | | | | 磁化条件 | | 磁异常剖面与磁性体相对位置 | 强度比例尺 J/cm |
|----|--|----------|---|----------------|-----------------|-----------|------------|--|-----------------|----|--|-----------|---|----------------------|-----------------|-----------|---|---------------|-----------------|
| | | 名称 | 垂直于磁性体走向的截面形状 | 倾角 α | 尺寸比例 | 倾角 I | 方位角 A | | | | | 名称 | 垂直于磁性体走向的截面形状 | 倾角 α | 尺寸比例 | 倾角 I | 方位角 A | | |
| 19 | ΔZ ΔH $\Delta \vec{T}$ | 走向无限椭圆柱体 |  | 60° | $2a:2c = 2.5:1$ | 30° | 0° |  | 1 | 29 | ΔZ ΔH $\Delta \vec{T}$ | 走向无限椭圆柱体 |  | 0° | $2a:2c = 2.5:1$ | 90° |  | 1 | |
| 20 | ΔZ ΔH $\Delta \vec{T}$ | 同上 |  | 90° | 同上 | 30° | 0° |  | 1 | 30 | ΔZ ΔH $\Delta \vec{T}$ | 同上 |  | 30° | 同上 | 90° |  | 1 | |
| 21 | ΔZ ΔH $\Delta \vec{T}$ | " |  | 120° | " | 30° | 0° |  | 1 | 31 | ΔZ ΔH $\Delta \vec{T}$ | " |  | 60° | " | 90° |  | 1 | |
| 22 | ΔZ ΔH $\Delta \vec{T}$ | " |  | 150° | " | 30° | 0° |  | 1 | 32 | ΔZ ΔH $\Delta \vec{T}$ | " |  | 90° | " | 90° |  | 1 | |
| 23 | ΔZ ΔH $\Delta \vec{T}$ | " |  | 0° | " | 60° | 0° |  | 1 | 33 | ΔZ ΔH $\Delta \vec{T}$ | 走向无限水平圆柱体 |  | $D=6$ | 30° | 0° |  | 2 | |
| 24 | ΔZ ΔH $\Delta \vec{T}$ | " |  | 30° | " | 60° | 0° |  | 1 | 34 | ΔZ ΔH $\Delta \vec{T}$ | 同上 |  | 同上 | 60° | 0° |  | 2 | |
| 25 | ΔZ ΔH $\Delta \vec{T}$ | " |  | 60° | " | 60° | 0° |  | 1 | 35 | ΔZ ΔH $\Delta \vec{T}$ | " |  | " | 90° | " |  | 2 | |
| 26 | ΔZ ΔH $\Delta \vec{T}$ | " |  | 90° | " | 60° | 0° |  | 1 | 36 | ΔZ ΔH $\Delta \vec{T}$ | 三度板状体 |  | $2b:2l:2L = 1:12:20$ | 30° | 0° |  | 0.4 | |
| 27 | ΔZ ΔH $\Delta \vec{T}$ | " |  | 120° | " | 60° | 0° |  | 1 | 37 | ΔZ ΔH $\Delta \vec{T}_{\perp}$ | 同上 |  | 30° | 同上 | 30° |  | 0.4 | |
| 28 | ΔZ ΔH $\Delta \vec{T}$ | " |  | 150° | " | 60° | 0° |  | 1 | 38 | ΔZ ΔH $\Delta \vec{T}_{\perp}$ | " |  | 30° | " | 30° |  | 0.1 | |

| 图号 | 磁异常类别 | 磁性体形状及产状 | | | | 磁化条件 | | 磁异常剖面与磁性体相对位置 | 强度比例尺 J/cm | 图号 | 磁异常类别 | 磁性体形状及产状 | | | | 磁异常剖面与磁性体相对位置 | 强度比例尺 J/cm | | |
|----|--|----------|---------------|-------------|----------------------|--------|---------|---------------|-----------------|----|--|----------|---------------|-------------|----------------------|---------------|-----------------|--|-----|
| | | 名称 | 垂直于磁性体走向的截面形状 | 倾角 α | 尺寸比例 | 倾角 I | 方位角 A | | | | | 名称 | 垂直于磁性体走向的截面形状 | 倾角 α | 尺寸比例 | 倾角 I | 方位角 A | | |
| 39 | ΔZ ΔH $\Delta \vec{T}_\perp$ | 三度板状体 | | 60° | $2b:2l:2L = 1:12:20$ | 30° | 0° | | 0.4 | 49 | ΔZ ΔH $\Delta \vec{T}_\perp$ | 三度板状体 | | 120° | $2b:2l:2L = 1:12:20$ | 30° | 0° | | 0.1 |
| 40 | ΔZ ΔH $\Delta \vec{T}_\perp$ | 同上 | | 60° | 同上 | 30° | 0° | | 0.4 | 50 | ΔZ ΔH $\Delta \vec{T}$ | 同上 | | 30° | 同上 | 60° | 0° | | 0.4 |
| 41 | ΔZ ΔH $\Delta \vec{T}_\perp$ | " | | 60° | " | 30° | 0° | | 0.4 | 51 | ΔZ ΔH $\Delta \vec{T}_\perp$ | " | | 30° | " | 60° | 0° | | 0.4 |
| 42 | ΔZ ΔH $\Delta \vec{T}_\perp$ | " | | 60° | " | 30° | 0° | | 0.1 | 52 | ΔZ ΔH $\Delta \vec{T}_\perp$ | " | | 30° | " | 60° | 0° | | 0.1 |
| 43 | ΔZ ΔH $\Delta \vec{T}$ | " | | 90° | " | 30° | 0° | | 0.4 | 53 | ΔZ ΔH $\Delta \vec{T}$ | " | | 60° | " | 60° | 0° | | 0.4 |
| 44 | ΔZ ΔH $\Delta \vec{T}_\perp$ | " | | 90° | " | 30° | 0° | | 0.4 | 54 | ΔZ ΔH $\Delta \vec{T}_\perp$ | " | | 60° | " | 60° | 0° | | 0.4 |
| 45 | ΔZ ΔH $\Delta \vec{T}_\perp$ | " | | 90° | " | 30° | 0° | | 0.1 | 55 | ΔZ ΔH $\Delta \vec{T}_\perp$ | " | | 60° | " | 60° | 0° | | 0.4 |
| 46 | ΔZ ΔH $\Delta \vec{T}$ | " | | 120° | " | 30° | 0° | | 0.4 | 56 | ΔZ ΔH $\Delta \vec{T}_\perp$ | " | | 60° | " | 60° | 0° | | 0.1 |
| 47 | ΔZ ΔH $\Delta \vec{T}_\perp$ | " | | 120° | " | 30° | 0° | | 0.4 | 57 | ΔZ ΔH $\Delta \vec{T}$ | " | | 90° | " | 60° | 0° | | 0.4 |
| 48 | ΔZ ΔH $\Delta \vec{T}_\perp$ | " | | 120° | " | 30° | 0° | | 0.4 | 58 | ΔZ ΔH $\Delta \vec{T}_\perp$ | " | | 90° | " | 60° | 0° | | 0.4 |

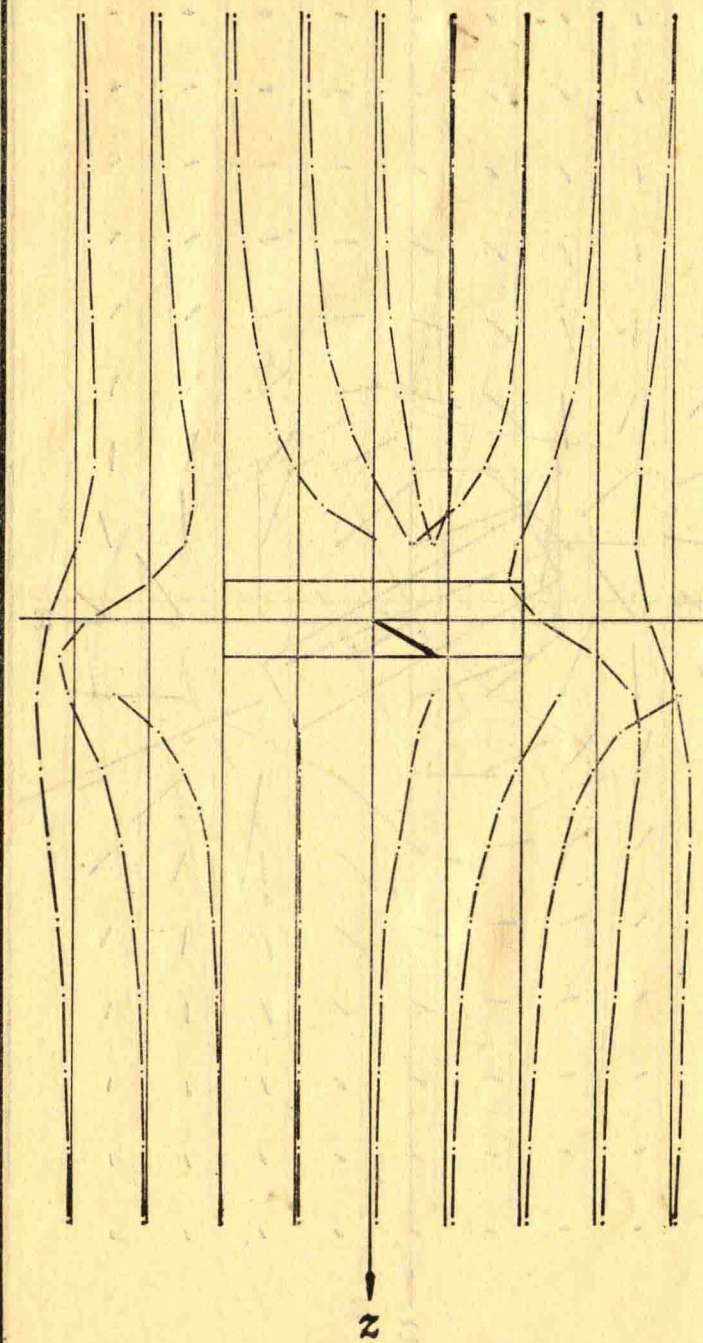
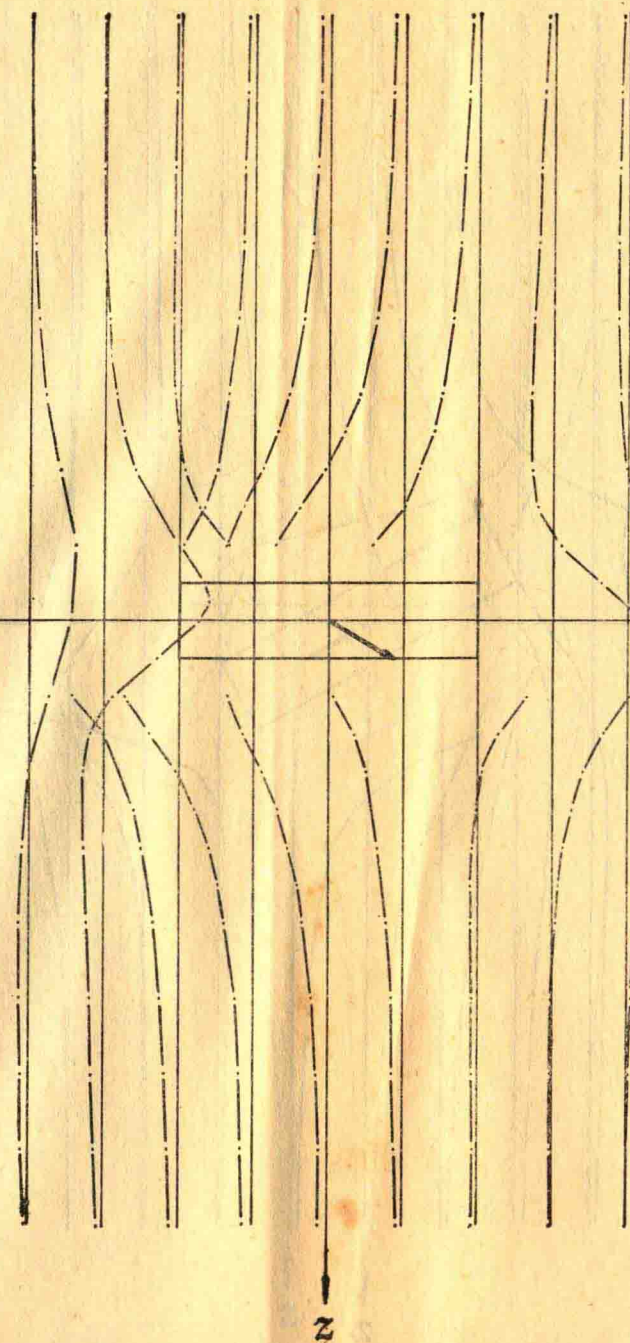
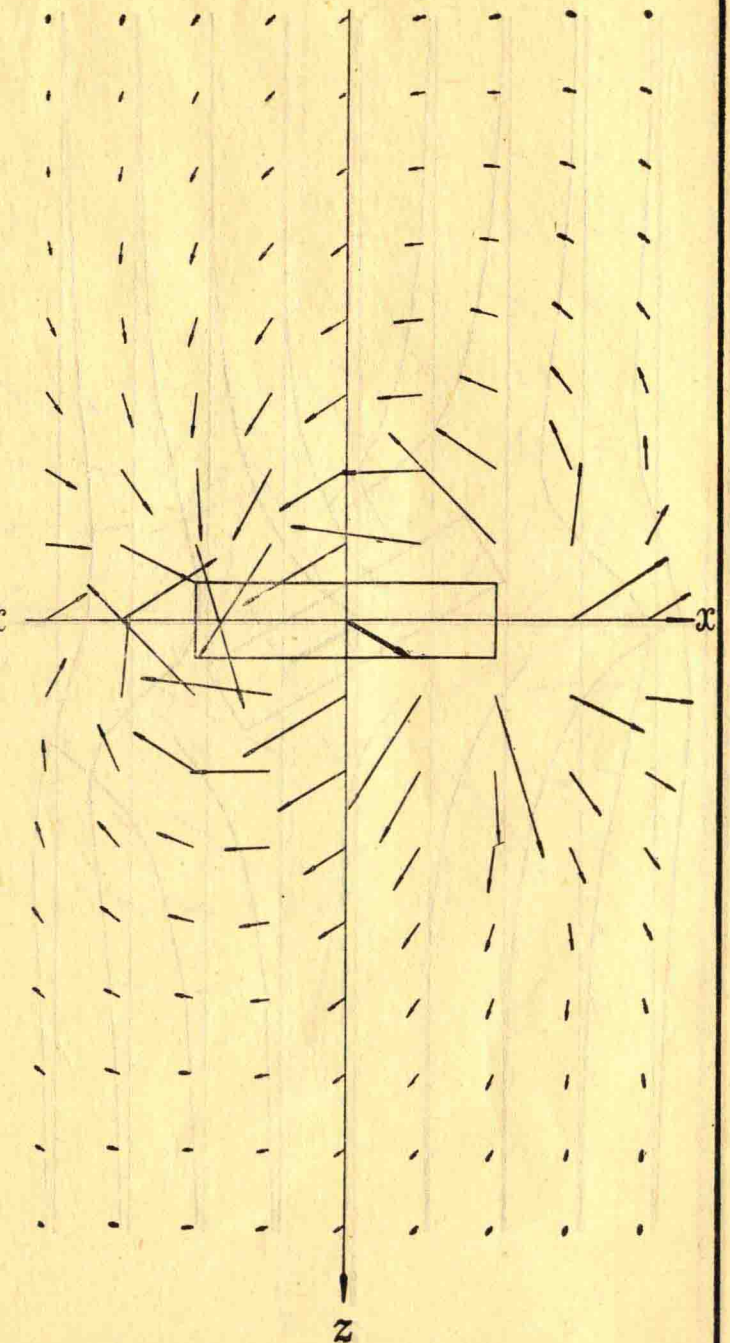
| 图号 | 磁异常类别 | 磁性体形状及产状 | | | | 磁化条件 | | 磁异常剖面与磁性体相对位置 | 强度比例尺 J/cm | 图号 | 磁异常类别 | 磁性体形状及产状 | | | | 磁化条件 | | 磁异常剖面与磁性体相对位置 | 强度比例尺 J/cm |
|----|--|----------|---------------|-------------|----------------------|--------|---------|---------------|-----------------|----|--|----------|---------------|-------------|----------------------|--------|---------|---------------|-----------------|
| | | 名称 | 垂直于磁性体走向的截面形状 | 倾角 α | 尺寸比例 | 倾角 I | 方位角 A | | | | | 名称 | 垂直于磁性体走向的截面形状 | 倾角 α | 尺寸比例 | 倾角 I | 方位角 A | | |
| 59 | ΔZ $\Delta \vec{H}$ $\Delta \vec{T}_\perp$ | 三度板状体 | | 90° | $2b:2l:2L = 1:12:20$ | 60° | 0° | | 0.1 | 68 | ΔZ $\Delta \vec{H}$ $\Delta \vec{T}_\perp$ | 三度板状体 | | 60° | $2b:2l:2L = 1:12:20$ | 30° | 45° | | 0.4 |
| 60 | ΔZ $\Delta \vec{H}$ $\Delta \vec{T}$ | 同上 | | 120° | 同上 | 60° | 0° | | 0.4 | 69 | ΔZ $\Delta \vec{H}$ $\Delta \vec{T}_\perp$ | 同上 | | 60° | 同上 | 30° | 45° | | 0.4 |
| 61 | ΔZ $\Delta \vec{H}$ $\Delta \vec{T}_\perp$ | " | | 120° | " | 60° | 0° | | 0.4 | 70 | ΔZ $\Delta \vec{H}$ $\Delta \vec{T}_\perp$ | " | | 60° | " | 30° | 45° | | 0.4 |
| 62 | ΔZ $\Delta \vec{H}$ $\Delta \vec{T}_\perp$ | " | | 120° | " | 60° | 0° | | 0.4 | 71 | ΔZ $\Delta \vec{H}$ $\Delta \vec{T}_\perp$ | " | | 60° | " | 30° | 45° | | 0.4 |
| 63 | ΔZ $\Delta \vec{H}$ $\Delta \vec{T}_\perp$ | " | | 120° | " | 60° | 0° | | 0.1 | 72 | ΔZ $\Delta \vec{H}$ $\Delta \vec{T}_\perp$ | " | | 60° | " | 30° | 45° | | 0.4 |
| 64 | ΔZ $\Delta \vec{H}$ $\Delta \vec{T}$ | " | | 60° | " | 90° | | | 0.4 | 73 | ΔZ $\Delta \vec{H}$ $\Delta \vec{T}_\perp$ | " | | 60° | " | 30° | 45° | | 0.1 |
| 65 | ΔZ $\Delta \vec{H}$ $\Delta \vec{T}_\perp$ | " | | 60° | " | 90° | | | 0.4 | 74 | ΔZ $\Delta \vec{H}$ $\Delta \vec{T}_\perp$ | " | | 60° | " | 30° | 45° | | 0.1 |
| 66 | ΔZ $\Delta \vec{H}$ $\Delta \vec{T}_\perp$ | " | | 60° | " | 90° | | | 0.4 | 75 | ΔZ $\Delta \vec{H}$ $\Delta \vec{T}_\perp$ | " | | 60° | " | 60° | 45° | | 0.4 |
| 67 | ΔZ $\Delta \vec{H}$ $\Delta \vec{T}_\perp$ | " | | 60° | " | 90° | | | 0.1 | 76 | ΔZ $\Delta \vec{H}$ $\Delta \vec{T}_\perp$ | " | | 60° | " | 60° | 45° | | 0.4 |

| 图号 | 磁异常类别 | 磁性体形状及产状 | | | | 磁化条件 | | 磁异常剖面与磁性体相对位置 | 强度比例尺 J/cm | 图号 | 磁异常类别 | 磁性体形状及产状 | | | | 磁化条件 | | 磁异常剖面与磁性体相对位置 | 强度比例尺 J/cm |
|----|--|----------|---------------|-------------|----------------------|--------|---------|---------------|-----------------|----|--|----------|---------------|-------------|----------------------|--------|---------|---------------|-----------------|
| | | 名称 | 垂直于磁性体走向的截面形状 | 倾角 α | 尺寸比例 | 倾角 I | 方位角 A | | | | | 名称 | 垂直于磁性体走向的截面形状 | 倾角 α | 尺寸比例 | 倾角 I | 方位角 A | | |
| 77 | ΔZ $\Delta \vec{H}$ $\Delta \vec{T}_\perp$ | 三度板状体 | | 60° | $2b:2l:2L = 1:12:20$ | 60° | 45° | | 0.4 | 86 | ΔZ $\Delta \vec{H}$ $\Delta \vec{T}_\perp$ | 三度板状体 | | 60° | $2b:2l:2L = 1:12:20$ | 30° | 90° | | 0.4 |
| 78 | ΔZ $\Delta \vec{H}$ $\Delta \vec{T}_\perp$ | 同上 | | 60° | 同上 | 60° | 45° | | 0.4 | 87 | ΔZ $\Delta \vec{H}$ $\Delta \vec{T}_\perp$ | 同上 | | 60° | 同上 | 30° | 90° | | 0.1 |
| 79 | ΔZ $\Delta \vec{H}$ $\Delta \vec{T}_\perp$ | " | | 60° | " | 60° | 45° | | 0.4 | 88 | ΔZ $\Delta \vec{H}$ $\Delta \vec{T}_\perp$ | " | | 60° | " | 30° | 90° | | 0.1 |
| 80 | ΔZ $\Delta \vec{H}$ $\Delta \vec{T}_\perp$ | " | | 60° | " | 60° | 45° | | 0.1 | 89 | ΔZ $\Delta \vec{H}$ $\Delta \vec{T}_\perp$ | " | | 60° | " | 60° | 90° | | 0.4 |
| 81 | ΔZ $\Delta \vec{H}$ $\Delta \vec{T}_\perp$ | " | | 60° | " | 60° | 45° | | 0.1 | 90 | ΔZ $\Delta \vec{H}$ $\Delta \vec{T}_\perp$ | " | | 60° | " | 60° | 90° | | 0.4 |
| 82 | ΔZ $\Delta \vec{H}$ $\Delta \vec{T}_\perp$ | " | | 60° | " | 30° | 90° | | 0.4 | 91 | ΔZ $\Delta \vec{H}$ $\Delta \vec{T}_\perp$ | " | | 60° | " | 60° | 90° | | 0.4 |
| 83 | ΔZ $\Delta \vec{H}$ $\Delta \vec{T}_\perp$ | " | | 60° | " | 30° | 90° | | 0.4 | 92 | ΔZ $\Delta \vec{H}$ $\Delta \vec{T}_\perp$ | " | | 60° | " | 60° | 90° | | 0.4 |
| 84 | ΔZ $\Delta \vec{H}$ $\Delta \vec{T}_\perp$ | " | | 60° | " | 30° | 90° | | 0.4 | 93 | ΔZ $\Delta \vec{H}$ $\Delta \vec{T}_\perp$ | " | | 60° | " | 60° | 90° | | 0.4 |
| 85 | ΔZ $\Delta \vec{H}$ $\Delta \vec{T}_\perp$ | " | | 60° | " | 30° | 90° | | 0.4 | 94 | ΔZ $\Delta \vec{H}$ $\Delta \vec{T}_\perp$ | " | | 60° | " | 60° | 90° | | 0.1 |

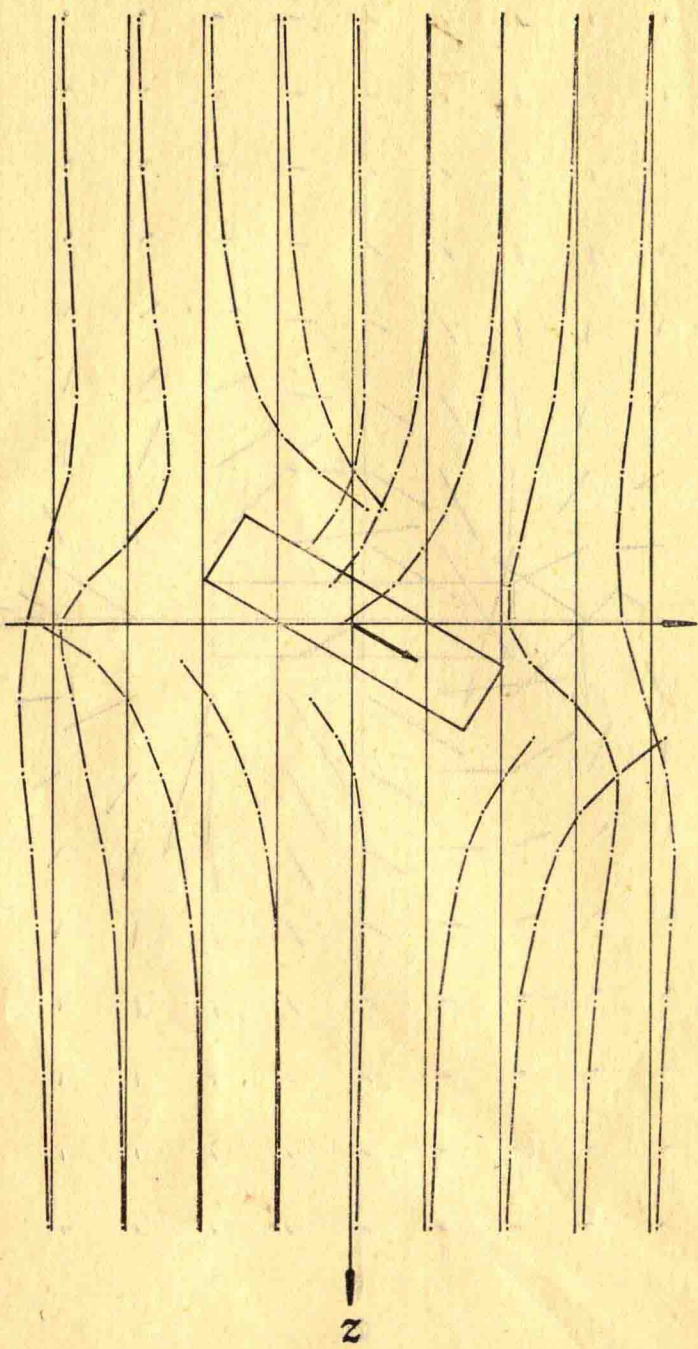
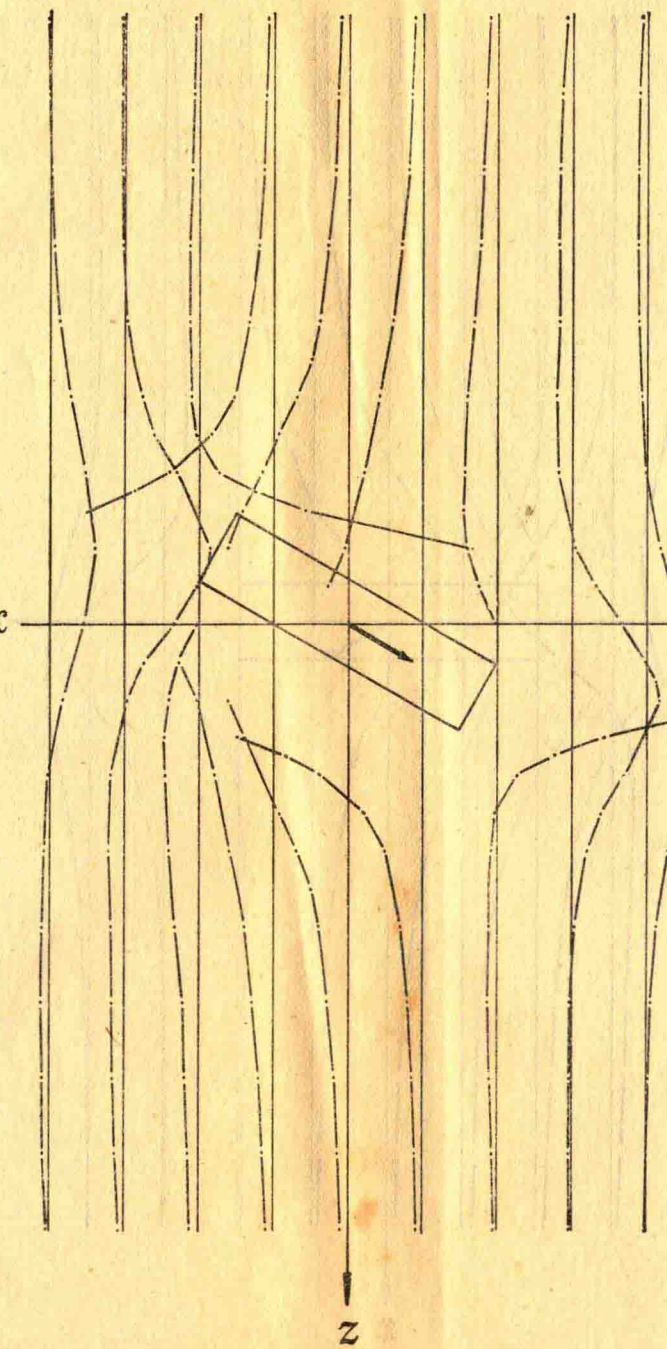
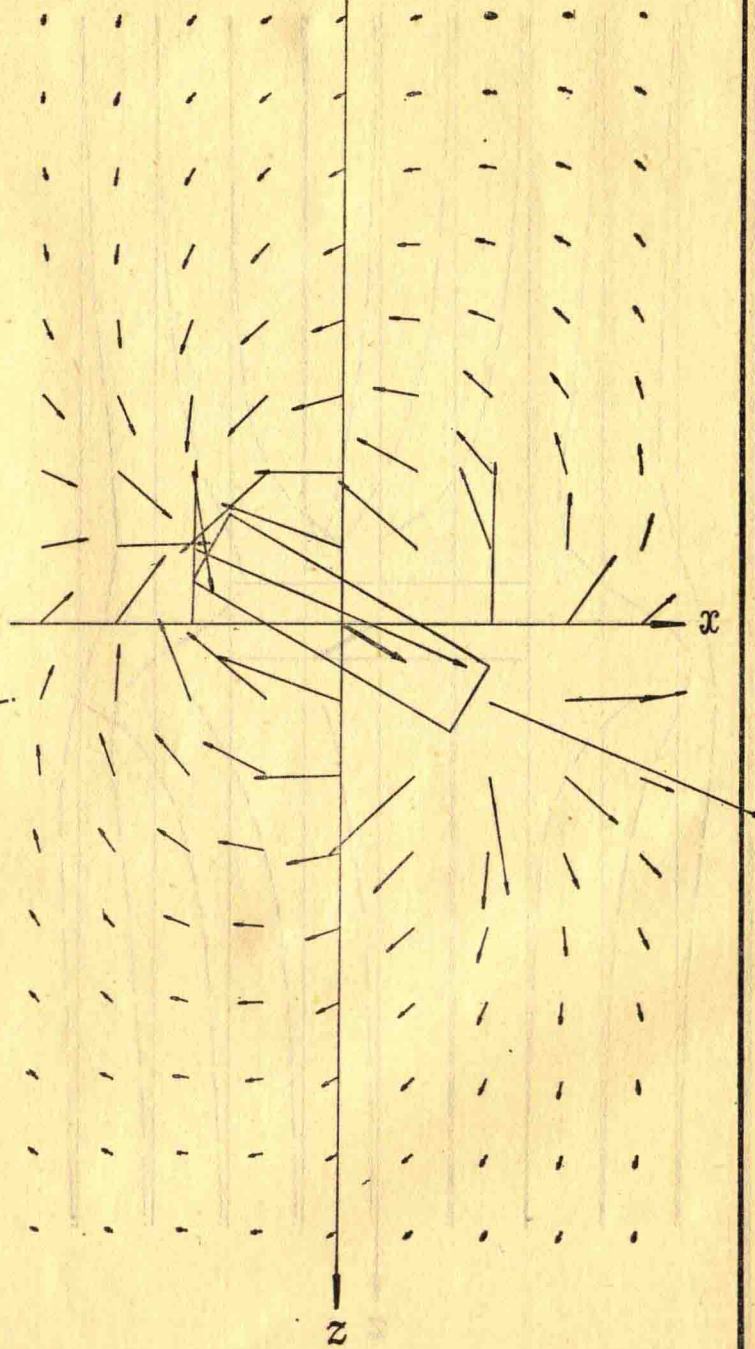
| 图号 | 磁异常类别 | 磁性体形状及产状 | | | | 磁化条件 | | 磁异常剖面与磁性体相对位置 | 强度比例尺 J/cm | 图号 | 磁异常类别 | 磁性体形状及产状 | | | | 磁化条件 | | 磁异常剖面与磁性体相对位置 | 强度比例尺 J/cm |
|-----|--|----------|---|-------------|----------------------|------|------|--|---------------|-----|--|----------|---|-------------|--------------------|------|------|---|---------------|
| | | 名称 | 垂直于磁性体走向的截面形状 | 倾角 α | 尺寸比例 | 倾角I | 方位角A | | | | | 名称 | 垂直于磁性体走向的截面形状 | 倾角 α | 尺寸比例 | 倾角I | 方位角A | | |
| 95 | ΔZ ΔH $\Delta \vec{T}_\perp$ | 三度板状体 |  | 60° | $2b:2l:2L = 1:12:20$ | 60° | 90° |  | 0.1 | 104 | ΔZ ΔH $\Delta \vec{T}$ | 三轴椭球体 |  | 30° | $2a:2b:2c = 2:3:1$ | 30° | 0° |  | 1 |
| 96 | ΔZ ΔH $\Delta \vec{T}$ | 旋转椭球体 |  | 30° | $2a:2b:2c = 3:1:1$ | 30° | 0° |  | 0.4 | 105 | ΔZ ΔH $\Delta \vec{T}_\perp$ | 同上 |  | 30° | 同上 | 30° | 0° |  | 1 |
| 97 | ΔZ ΔH $\Delta \vec{T}_\perp$ | 同上 |  | 30° | 同上 | 30° | 0° |  | 0.4 | 106 | ΔZ ΔH $\Delta \vec{T}_\perp$ | " |  | 30° | " | 30° | 0° |  | 0.4 |
| 98 | ΔZ ΔH $\Delta \vec{T}_\perp$ | " |  | 30° | " | 30° | 0° |  | 0.4 | 107 | ΔZ ΔH $\Delta \vec{T}_\perp$ | " |  | 30° | " | 30° | 0° |  | 0.2 |
| 99 | ΔZ ΔH $\Delta \vec{T}_\perp$ | " |  | 30° | " | 30° | 0° |  | 0.2 | 108 | ΔZ ΔH $\Delta \vec{T}$ | " |  | 60° | " | 30° | 0° |  | 1 |
| 100 | ΔZ ΔH $\Delta \vec{T}$ | " |  | 60° | " | 60° | 0° |  | 0.4 | 109 | ΔZ ΔH $\Delta \vec{T}_\perp$ | " |  | 60° | " | 30° | 0° |  | 1 |
| 101 | ΔZ ΔH $\Delta \vec{T}_\perp$ | " |  | 60° | " | 60° | 0° |  | 0.4 | 110 | ΔZ ΔH $\Delta \vec{T}_\perp$ | " |  | 60° | " | 30° | 0° |  | 0.4 |
| 102 | ΔZ ΔH $\Delta \vec{T}_\perp$ | " |  | 60° | " | 60° | 0° |  | 0.4 | 111 | ΔZ ΔH $\Delta \vec{T}_\perp$ | " |  | 60° | " | 30° | 0° |  | 0.2 |
| 103 | ΔZ ΔH $\Delta \vec{T}_\perp$ | " |  | 60° | " | 60° | 0° |  | 0.2 | 112 | ΔZ ΔH $\Delta \vec{T}$ | " |  | 30° | " | 60° | 0° |  | 1 |

| 图号 | 磁异常类别 | 磁性体形状及产状 | | | | 磁化条件 | | 磁异常剖面与磁性体相对位置 | 强度比例尺 J/cm | 图号 | 磁异常类别 | 磁性体形状及产状 | | | | 磁化条件 | | 磁异常剖面与磁性体相对位置 | 强度比例尺 J/cm |
|-----|--|----------|---|----------------|--------------------|-----------|------------|---|-----------------|-----|--|----------|---|----------------|--------------------|-----------|---|---|-----------------|
| | | 名称 | 垂直于磁性体走向的截面形状 | 倾角 α | 尺寸比例 | 倾角 I | 方位角 A | | | | | 名称 | 垂直于磁性体走向的截面形状 | 倾角 α | 尺寸比例 | 倾角 I | 方位角 A | | |
| 113 | ΔZ $\Delta \vec{H}$ $\Delta \vec{T}_\perp$ | 三轴椭球体 |  | 30° | $2a:2b:2c = 2:3:1$ | 60° | 0° |  | 1 | 122 | ΔZ $\Delta \vec{H}$ $\Delta \vec{T}_\perp$ | 三轴椭球体 |  | 90° | $2a:2b:2c = 2:3:1$ | 60° | 0° |  | 0.4 |
| 114 | ΔZ $\Delta \vec{H}$ $\Delta \vec{T}_\perp$ | 同上 |  | 30° | 同上 | 60° | 0° |  | 0.4 | 123 | ΔZ $\Delta \vec{H}$ $\Delta \vec{T}_\perp$ | 同上 |  | 90° | 同上 | 60° | 0° |  | 0.2 |
| 115 | ΔZ $\Delta \vec{H}$ $\Delta \vec{T}_\perp$ | " |  | 30° | " | 60° | 0° |  | 0.2 | 124 | ΔZ ΔH $\Delta \vec{T}$ | " |  | 60° | " | 90° | " |  | 1 |
| 116 | ΔZ ΔH $\Delta \vec{T}$ | " |  | 60° | " | 60° | 0° |  | 1 | 125 | ΔZ $\Delta \vec{H}$ $\Delta \vec{T}_\perp$ | " |  | 60° | " | 90° | " |  | 1 |
| 117 | ΔZ $\Delta \vec{H}$ $\Delta \vec{T}_\perp$ | " |  | 60° | " | 60° | 0° |  | 1 | 126 | ΔZ $\Delta \vec{H}$ $\Delta \vec{T}_\perp$ | " |  | 60° | " | 90° | " |  | 0.4 |
| 118 | ΔZ $\Delta \vec{H}$ $\Delta \vec{T}_\perp$ | " |  | 60° | " | 60° | 0° |  | 0.4 | 127 | ΔZ $\Delta \vec{H}$ $\Delta \vec{T}_\perp$ | " |  | 60° | " | 90° | " |  | 0.2 |
| 119 | ΔZ $\Delta \vec{H}$ $\Delta \vec{T}_\perp$ | " |  | 60° | " | 60° | 0° |  | 0.2 | 128 | ΔZ ΔH $\Delta \vec{T}$ | 球体 |  | $D=8$ | 30° | 0° |  | 2 | |
| 120 | ΔZ ΔH $\Delta \vec{T}$ | " |  | 90° | " | 60° | 0° |  | 1 | 129 | ΔZ ΔH $\Delta \vec{T}$ | 同上 |  | 同上 | 60° | 0° |  | 2 | |
| 121 | ΔZ $\Delta \vec{H}$ $\Delta \vec{T}_\perp$ | " |  | 90° | " | 60° | 0° |  | 1 | 130 | ΔZ ΔH $\Delta \vec{T}$ | " |  | " | " | 90° | " |  | 2 |

1

 ΔZ  ΔH  $\Delta \vec{T}$ 

2

 ΔZ  ΔH  $\Delta \bar{T}$ 

ΔZ ΔH $\Delta \vec{T}$ 